



KANDIDAATINTYÖ AKKUTESTERIN TOTEUTTAMINEN

Osmo Kitunen

Ohjaaja: Timo Rahkonen

**ELEKTRONIIKAN JA TIETOLIIKENNETEKNIIKAN
TUTKINTO-OHJELMA**

2020

Kitunen OV. (2020) Akkutesterin toteuttaminen.

Oulun yliopisto. Elektroniikan ja tietoliikennetekniikan tutkinto-ohjelma.

TIIVISTELMÄ

Tämän kandidaatintyön tavoitteena oli suunnitella ja rakentaa akkutesteri, jolla voidaan tutkia alle viiden voltin akkujen ja patterien suorituskykyä. Akkutesteri suunniteltiin mittaamaan vain kapasiteettia ja lähtöimpedanssia, sillä niitä tutkimalla saadaan melko hyvä käsitys akun kunnosta, eikä kovin monimutkaista mittaustajärjestelyä tarvita. Mittausdatan pohjalta laadittiin varaustilan ja lähtöimpedanssin suhdetta havainnollistavia kuvaajia, joissa SOC-käyrä ja lähtöimpedanssi on sovitettu samalle aika-akselille.

Laitesuunnittelun lähtökohtana oli, suunnitella Arduino-yhteensopiva piirilevy, joka sisältää akkujen lähtöimpedanssin ja kapasiteetin mittaamiseen tarvittavan elektroniikan ja kirjoittaa Arduinolle laitteen toimintaa ohjaava ohjelma. Akkutesteri suunniteltiin purkamaan akkuja vakiokuormalla. Lähtöimpedanssia mitattiin kaksinkertaistamalla akun kuormitus hetkellisesti 63 minuutin välein. Pienin mahdollinen purkuvastuksen arvo on 10Ω , joka rajoittaa suurimman mahdollisen purkuvirran alle puoleen ampeeriin.

Avainsanat: akku, kapasiteetti, lähtöimpedanssi, piirilevysuunnittelu.

Kitunen OV. (2020) Implementation of a battery tester.
University of oulu. Degree programme in electronics.

ABSTRACT

The purpose of this bachelor's Thesis was to design and implement a battery tester for sub five-volt batteries. Measurement systems for capacity and output impedance were implemented as the said characteristics give a relatively good representation of battery health, yet the needed measurement setup can be kept rather simple. To visualize the results SOC-curve and output impedance were plotted on the same time axis.

The basis of designing the device was to design an Arduino compatible circuit board containing electronics needed to measure battery capacity and output impedance and write a program for Arduino that controls the operation of the device. Battery tester was designed to drain batteries with a constant load. Output impedance was measured by doubling battery load momentarily every 63 minutes. The smallest available value for load resistor is 10Ω resulting in drain currents less than half an ampere.

Key words: battery, capacity, output impedance, PCB-design

ALKULAUSE

Tämä kandidaatintyö on laadittu kevään ja kesän 2020 aikana, työn tekoaikana vallinneiden poikkeusolojen vuoksi suurimmaksi osaksi kotitoimistolta käsin. Tämän dokumentin kirjoittamista suurempi ja työläämpi osuus tämän työn osalta oli fyysisen laitteen suunnittelu, kokoonpano, testaus ja ohjelmistokehitys. Laitteen kehittämiseen kulutettu aika kuitenkin palkittiin ja rakennettu prototyyppilaitte osoittautui toimivaksi kokonaisuudeksi. Mittauksia saatiin tehtyä onnistuneesti eri tyyppisillä akuilla ja saadut tulokset olivat järkeviä.

Oulussa syksyllä 2020

Osmo Kitunen

Sisällys

TIIVISTELMÄ	1
ABSTRACT	2
LYHENTEIDEN JA MERKKIEN SELITYKSET	5
1 Johdanto	6
2 AKKUTESTERIN TOIMINTAPERIAATE	7
2.1 Akkujen ja pattereiden ominaisuuksia	7
2.2 Akkutesterin toiminnallinen kuvaus	7
2.3 Akun kapasiteetin määrittäminen	8
2.4 Lähtöimpedanssin määrittäminen	10
2.5 Mittaustulosten tallentaminen ja tulkinta	11
3 LAITTEEN IMPLEMENTOINTI JA KÄYTTÖ	13
3.1 Piirikaavion suunnittelu	13
3.2 Piirilevyn suunnittelu	14
3.3 Fyysisen laitteen rakentaminen ja ohjelmistokehitys	16
3.4 Mittaustuloksia	18
4 POHDINTA	23
5 YHTEENVETO	24
LÄHTEET	25
LIITTEET	26
5.1 Kytkentäkaavio	26
5.2 BOM	28
5.3 Arduino-ohjelmakoodi	31

LYHENTEIDEN JA MERKKIEN SELITYKSET

V	Voltti, jännitteen yksikkö
A	Ampeeri, virran yksikkö
Ω	Ohmi, resistanssin yksikkö
Coul	Coulomb = ampeerisekunti, varauksen yksikkö
Ah	Ampeeritunti,
C	Akun kapasiteetin suhteen normalisoitu purkuvirta
SOC	State of charge, varaustila
BJT	Bipolaaritransistori
MOSFET	metal-oxide field-effect transistor
R_{DSon}	Johtavassa tilassa olevan MOSFET:in resistanssi nielulta lähteelle (drain-source)
BOM	Bill Of Materials - osaluettelo
FreeCad	Parametrinen 3D mallinnusohjelmisto
KiCad	Piirilevy suunnitteluohjelmisto
PBC	Printed circuit board, piirilevy

1. Johdanto

Erilaiset akut ja paristot ovat olennainen osa suurta osaa käyttämistämme elektronisista laitteista. Akku- ja patterikäyttöisten laitteiden toimintavarmuuden ja luotettavuuden kannalta on tärkeää, että laitteissa käytetään hyväkuntoisia akkuja. Tässä kandidaatin työssä perehdytään alle 5 voltin akkujen ja pattereiden testaamiseen tarkoitetun laitteen suunnittelu- ja rakennusprosesseihin. Rakennettavalla laitteella on tarkoitus mitata akun kapasiteetti ja lähtöimpedanssi eri varaustiloissa. Mittaustulokset käsitellään ja visualisoidaan taulukkolaskentaohjelmalla.

Laiteen elektroniikan suunnittelussa hyödynnettiin LTspice-piirisimulaattoria. Piirilevy suunniteltiin KiCad-piirilevy-suunnitteluohjelmistoa käyttäen ja tarvittavat mekaniikkaosat mallinnettiin FreeCadilla. Piirilevy valmistutettiin yliopiston piirilevy-pajalla, mutta laitteen itsensä kokoaminen suoritettiin käsin kotiloissa.

Mittaustuloksia muutamista erilaisista akuista löytyy tämän dokumentin loppupuolelta. Työn pääpaino oli laitteen kehitysprosessin ja toiminnan kuvaamisessa, mittaustulosten ollessa lähinnä laitteen toiminnallisuuden esittelyä. Tässä dokumentissa esitetystä Mittaustuloksista lukija saa ylimalkaisen kuvan sylinterimallisten litiumioniakkujen ja tavallisten sormipatterien käyttäytymisestä vaikiokuormalla kuormitettuna.

2. AKKUTESTERIN TOIMINTAPERIAATE

2.1. Akkujen ja pattereiden ominaisuuksia

Eri akkuteknologioilla toteutettujen akkukennojen ominaisuudet voivat erota suurestikin toisistaan. Tiettyjä kennon olennaisia ominaisuuksia voidaan kuitenkin mitata kennotyypistä riippumatta samoilla menetelmillä. Tässä työssä keskitytään tarkastelemaan akun kapasiteettia, lähtöimpedanssia ja lähtöimpedanssin muutosta akun varaustilan (State of charge, SOC) ja jossain määrin myös kuormituksen funktiona.

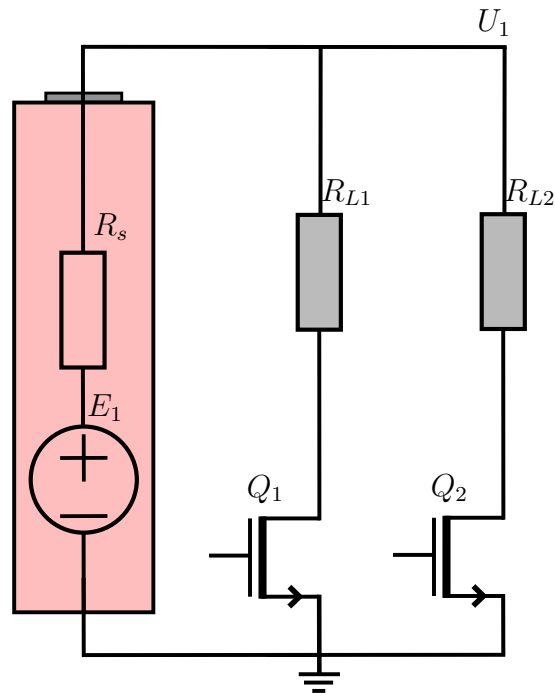
Akun kykyä varastoida energiaa voitaneen pitää akun tärkeimpänä ominaisuutena, varauskyky eli akun kapasiteetti ilmoitetaan usein ampeeritunteina. SI järjestelmän mukaisesti yksi ampeeritunti on 3600 coulombia. $Ah = 3600As = 3600C$ [1]. Kapasiteetin lisäksi harvemmin esillä oleva lähtöimpedanssi vaikuttaa akun suorituskykyyn merkittävästi. Lähtöimpedanssi kuvaa kuinka "helpos-ti"akusta saadaan sähköä ulos: Mitä pienempi akun lähtöimpedanssi on, sitä pienemmän jännitehäviön purkuvirta aiheuttaa akun sisällä ja sitä vähemmän energiaa muuttuu lämmöksi akussa akkua purettaessa. Impedanssin yksikkö on ohmi [Ω].

Impedanssi on kompleksinen suure, jonka reaaliosa on resistanssi ja imaginaariosa reaktanssi. Resistanssi vaikuttaa tasavirtatilanteessa ja matalilla taajuuksilla. Taajuuden kasvaessa resistanssin vaikutus heikkenee ja reaktanssin vaikutus puolestaan voimistuu.

2.2. Akkutesterin toiminnallinen kuvaus

Akkujen kapasiteetin ja lähtöimpedanssin määrittämiseksi karkeasti suunniteltiin yksinkertainen laite, joka kykenee mittaamaan neljää akkua samanaikaisesti. Kuvassa 2.1 on esitetty akkutesterin yksinkertaistettu kytkentäkaavio. Jokaista akkua kohden on kaksi kytkintransistoria, joista toinen kytkee akkuun jatkuvan kuorman ja toisella voidaan kytkeä jatkuvan kuorman rinnalle lisää vastuksia, jolloin kuorman kokonaisresistanssi laskee ja virta vastaavasti kasvaa ohmin lain (kaava 1) mukaisesti.

$$U = RI \tag{1}$$



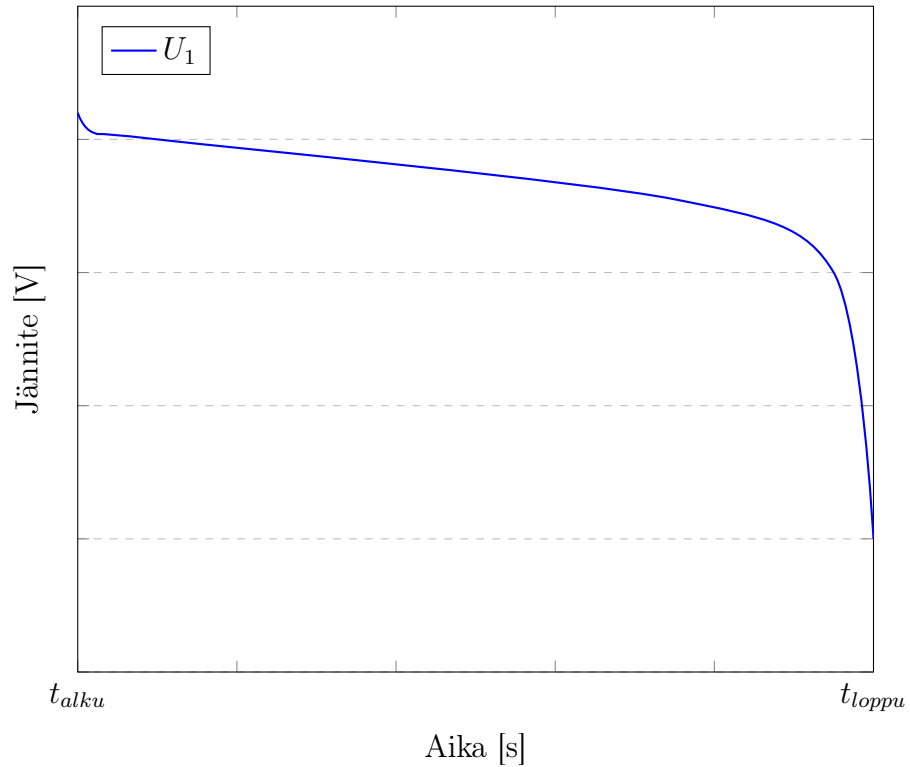
Kuva 2.1. Yksinkertaistettu kytkentäkaavio akkutesterin yhdestä kanavasta.

Akun kapasiteetti olisi voitu määrittää myös purkamalla akkua vain yhdellä vastuksella. Jokaista akkua kohden on kuitenkin kaksi kuormituspiiriä, jotta akun lähtöimpedanssi DC-tilanteessa saatiin määritettyä. Akun lähtöimpedanssin perusteellinen tutkiminen vaatisi akun kuormittamista kilohertsiluokan taajuuksilla. Yksinkertaisuuden vuoksi tässä työssä keskityttiin akun lähtöimpedanssin tutkimiseen vain DC-tilanteessa, joten kaikki tässä dokumentissa esitetyt mitatut impedanssiarvot sisältävät vain impedanssin reaaliosan eli resistanssin.

Battery University -verkkosivulla julkaistun artikkelin mukaan DC-virtapulsseilla saadut impedanssin arvot eivät kuvaa akun käyttäytymistä kovin hyvin jos akkua käytetään virtalähteenä esimerkiksi hyvin nopeilla virtapulsseilla akkua kuormittavalle digitaalielektronikalle. Tässä työssä saadut tulokset ovat siis sovellettavissa akun käyttäytymiseen resistiivisillä kuormilla, esimerkiksi lämmittimien tai hehkulamppujen teholähteenä. [2]

2.3. Akun kapasiteetin määrittäminen

Akun kapasiteetti saadaan mitattua suuntaa antavasti purkamalla akku tyhjäksi tunnetulla kuormalla ja mittaamalla akun jännitettä ja purkamiseen kulunutta aikaa. Kuvassa 2.2 on esitettyä tyypillinen kuormitetun akun jännite ajan funktiona.



Kuva 2.2. Laadukkaan akun tai patterin purkaminen voisi tuottaa esimerkiksi tällaisen käyrän vakiokuormalla kuormitettuna

Kapasiteetti on nyt laskettava integroimalla akusta otettavaa virtaa ajan suhteen kaavan 2 mukaisesti. Kun jännite U_1 jaetaan kuormaresistanssilla, saadaan virta pystyakselille, jolloin akun kapasiteetti on käyrän alle jäävä pinta-ala.

$$\textit{kapasiteetti} = \int_{t_{\text{alku}}}^{t_{\text{loppu}}} \frac{U_{in}(t)}{R_{L1}} dt \quad (2)$$

Erilaisten akkujen testaamista varten akkutesterin purkuvastusten arvot voidaan asettaa tarkasteltavalle akkutyypille mahdollisimman sopivaksi. Suurimaksi purkuvastuksen arvoksi valittiin 100Ω , ja pienimmäksi 10Ω , tai jopa 5Ω , jos otetaan huomioon impedanssimittaukseen tarkoitettu osa kytkennästä. Valituilla vastusarvoilla saadaan täydestä puolentoista voltin patterista $300mA - 15mA$ purkuvirtoja. Esimerkiksi Energizer on määritellyt erään AA-patterimallinsa datalehdessä kapasiteettiarvoja eri purkuvirroille $25mA$ ja $500mA$ väliltä [3], joten käytössä olevilla vastusarvoilla pitäisi saada melko hyvä käsitys AA- ja AAA-patterien suorituskyvystä purkuvirroilla, joille sormipatterit on suunniteltu.

Sormipatterien testaamisen lisäksi akkutesterillä kyetään tutkimaan myös erilaisia pieniä ladattavia akkuja. Valitulla vastusarvovälillä voidaan tutkia akkujen käyttäytymistä melko pienillä, alle puolen ampeerin jatkuvilla purkuvirroilla. Pienellä purkuvirralla akun lähtöimpedanssi pysyy pienempänä ja akusta saadaan siten suurempi määrä energiaa hyötykäyttöön. Akkuja valmistava EEMB on erään akkumallinsa datalehdessä ilmoittanut, että 100% akun kapasiteetista saadaan käyttöön, kun purkuvirta on $0,2C$. [4] C:llä tarkoitetaan tässä akun kapasiteetin

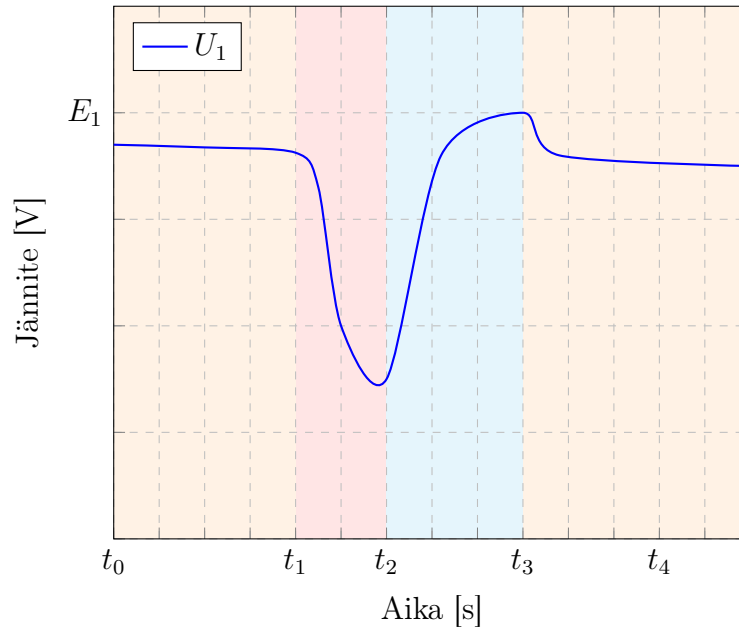
suhteen normalisoitua purkuvirtaa. C on siis virta, jolla akku purkaantuu täysin yhdessä tunnissa, eli C on akun kapasiteetti jaettuna yhdellä tunnilla. [5]

Käytännössä kapasiteettimittaus toteutettiin ottamalla näytteitä akun napajännitteestä (kuvassa 2.1 U_1) harvakseltaan. Akun jännitteen näytteistystaajuuden skaalaaminen purkuvirtaan toteutettiin kaavan 3 mukaisesti. Purkuvastuksen kertominen vakiolla osoittautui yksinkertaiseksi ja helposti implementoitavaksi ratkaisuksi, jolla saatiin kuitenkin riittävä kontrolli näytteistystaajuuteen. Näyteväli on siis $\frac{4s \cdot R_{L1}}{\Omega}$.

$$\frac{1}{R_{L1} \cdot 4 \frac{s}{\Omega}} = f_s \quad (3)$$

2.4. Lähtöimpedanssin määrittäminen

Lähtöimpedanssista saadaan tietoa esimerkiksi kuvan 2.3 mukaisella sekvenssillä. Aikavälillä $t_0 - t_1$ akkua kuormitetaan jollain kuormalla R_{L1} . Ajanhetkellä t_1 akkuun kytketään kuorman R_{L1} rinnalle kytketään toinen vastus R_{L2} , jolloin kytkennässä kulkeva virta kasvaa ja akussa tapahtuva jännitehäviö kasvaa Ohmin lain mukaisesti. Ajanhetkellä t_2 kuormituspiiri kytketään kokonaan avoimeksi, jolloin virtaa ei kulje piirissä ja akun jännite palautuu lähelle kuormittamatonta jännitettä E_1 . Akun kuormittaminen kuormalla R_{L1} jatkuu kohdassa t_3 .



Kuva 2.3. Havainnekuva suunnitellusta impedanssimittaussekvenssistä

Purkuvirran kasvaessa myös akussa tapahtuva jännitehäviö kasvaa ohmin lain mukaisesti. Akkuja ja pattereita voidaan ajatella kuvan 2.1 mukaisesti jännitelähteenä, jonka kanssa sarjassa on jokin vastus R_s , joka näkyy ulospäin akun lähtöimpedanssina.

Vastusten jännitejako(4) soveltamalla tutkittavan akun lähtöimpedanssille voidaan laskea arvo, kun kuormittamattomaan akkuun kytketään jokin kuorma.

$$U_{out} = U_{in} \cdot \frac{R_2}{R_1 + R_2} \quad (4)$$

Nyt pelkkä jännitejaon kaava ei kuitenkaan riitä, koska lähtöimpedanssille halutaan laskea arvo myös tilanteessa, jossa kuormitettuun akkuun kytketään lisää kuormaa (kuvassa 2.3 aikaväli $t_1 - t_2$). Lauseke lähtöimpedanssille yleisessä tilanteessa saadaan muodostamalla kuvasta 2.1 solmupisteyhtälö pisteelle U_1 ja ratkaisemalla R_s , saadaan 5:

$$R_s = \frac{E_1 - U_1}{\frac{U_1}{R_{L1}} + \frac{U_1}{R_{L1}}} \quad (5)$$

Kaavasta 5 saadaan laskettua lähtöimpedanssi sijoittamalla käytetyt kuormavastusten arvot ja mitatut jännitteet paikoilleen. Jos akkua kuormitetaan vain yhdellä kuormavastuksella, jätetään toinen $\frac{U}{R_{Lx}}$ -termi pois U_1 :n lausekkeen nimittäjästä.

Rakennetulla akkutesterillä akun lähtöimpedanssia mitattiin muutamia kertoja purkusyklin 2.2 aikana, jolloin saatiin tietoa akun impedanssikäyttäytymisestä eri varaustiloissa. Kuormituksen kasvattamisen mahdollisuus tarjosi myös mahdollisuuden tutkia reagoiko lähtöimpedanssi purkuvirran kasvuun. Impedanssimittauksia tehtiin yhdeksänkymmenen näytteen välein.

2.5. Mittaustulosten tallentaminen ja tulkinta

Akkutesterin toimintaa ohjattiin Arduinolla. Kukin akku kytkettiin yhteen Arduinon analogiapinneistä jännitteen mittaamista varten. Arduinon analogiapinneissä on 10 bittinen analogia-digitaalimuunnin [A/D-muunnin], joka tuottaa 5V referenssijännitteellä noin 5mV resoluution Arduinossa olevan mikrokontrollerin datalehden mukaisesti [6]. Arduinon digitaalipinnejä käytettiin ohjaamaan transistorikytkentöjä, joilla purkuvastuksia kytkettiin akkuihin halutusti.

Mittauksen aikana muistikortilla olevaan tiedostoon tallennettiin merkkijono, joka on muotoa:

```
aika[ms], U1[V], U2[V], U3[V], U4[V], I[1], I2[A], I3[A], I4[A] \n
```

Mittauksen päätyttyä (=kaikkien akkujen ollessa tyhjiä) tiedosto siirrettiin muistikortilta tietokoneelle ja tulokset käsiteltiin haluttuun muotoon taulukkolaskentaohjelmalla.

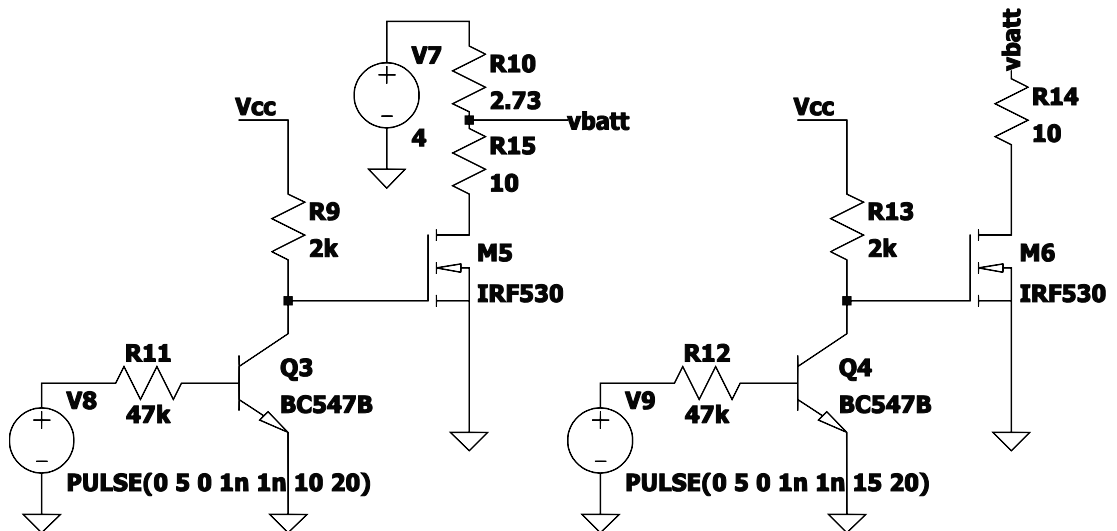
Lähtöimpedanssi ja purkuvirta piirrettiin samaan kuvaajaan ajan funktiona, jolloin saatiin havainnollistettua varaustilan ja lähtöimpedanssin välistä riippuvuutta. Kapasiteetin laskeminen onnistuu laskemalla yksittäisten mittapisteiden välillä purettujen varaussumma kaavan 6 mukaisesti. Kaavassa 6 I on purkuvirta ajanhetkellä t_n ja m on mittapisteiden määrä. Laskutoimitus voidaan tarkistaa kohtuullisella tarkkuudella integroimalla purkuvirtakäyrälle sovitetun suoran alle jäävä ala.

$$kapasiteetti = \sum_{n=1}^m I \cdot (t_n - t_{n-1}) \quad (6)$$

3. LAITTEEN IMPLEMENTOINTI JA KÄYTTÖ

3.1. Piirikaavion suunnittelu

Akkutesterin elektroniikan suunnittelu aloitettiin simuloimalla kytkentä LTspicellä. Simuloitu kytkentä näkyy kuvassa 3.1. Prototyyppi kytkennästä rakennettiin myös koekytkentälevylle kytkennän toiminnan varmistamiseksi käytännössä. Koekytkentäalustalle rakennetulla kytkennällä ei kuitenkaan pystytty suorittamaan koemittauksia, sillä kuormavastukset piti kasata useista rinnankytketyistä vastuksista, eikä niiden resistanssi pysynyt vakiona mittauksen aikana.



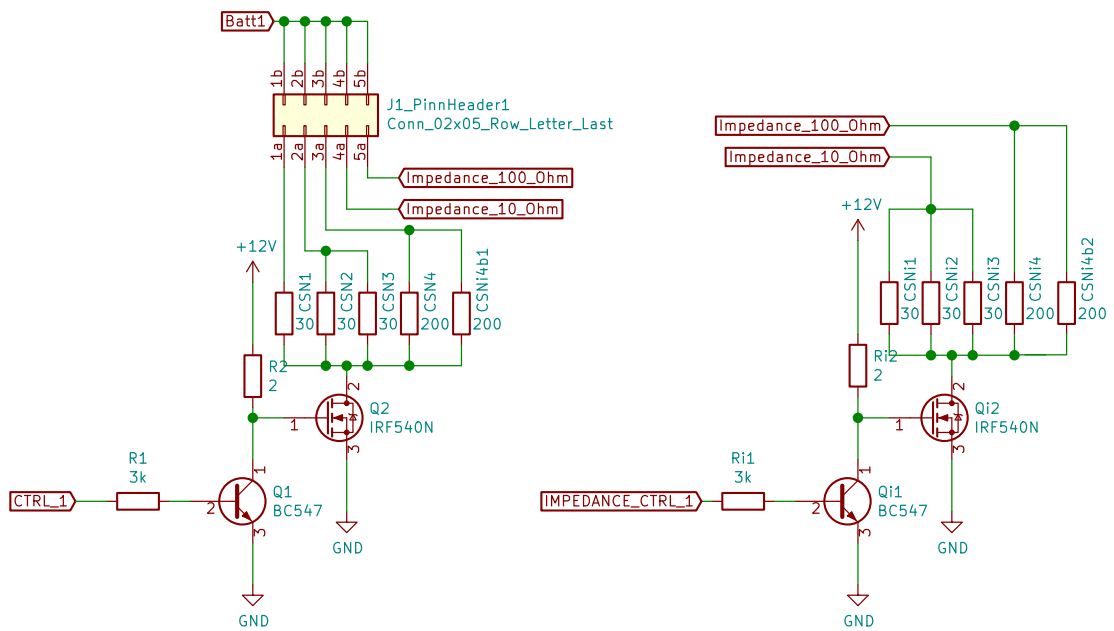
Kuva 3.1. Kytkentä LTspice-piirisimulaattorissa

Kuvassa 3.1 jännitelähteet V8 ja V9 kuvaavat kytkennän toimintaa ohjaavia Arduinolta tulevia +5V logiikkatason signaaleja, joka tuodaan kantavastuksen kautta piensignaali-transistorin kannalle. NPN-transistorit Q3 ja Q4 toimivat puskuriasteina varsinaisille kytkintransistoreille, varmistaen että kuormavastuksia akuille kytkevät N-tyypin mosfetit M5 ja M6 kytkeytyvät kokonaan auki, eli niiden R_{DSon} on mahdollisimman pieni, jolloin ne vaikuttavat kuormavastuksen arvoon mahdollisimman vähän. V7 kuvaa testattavaa akkua ja R10 akun lähtöimpedanssia. R15 on kuvan 2.1 merkinnöillä R_{L1} ja R14 vastaavasti R_{L2} . Vcc on kytkennän käyttöjännite, joka on voi vaihdella osavälinoista riippuen jonkin verran. Suunniteltu käyttöjännite on 12V.

Koekytkentälevylle tehdystä testikytkennästä huomattiin, että Arduinon analogiapinneille on kytkettävä suuriohmiset alavetovastukset, jotta Arduinon analogiapinneistä lukemat arvot ovat järkeviä myös, kun kanavaan ei ole kytketty

mitään. Alasvetovastuksille haarukoitiin arvoksi $47k\Omega$, joka oli suurin vastusarvo, jolla kelluvasta pinnistä Arduinolla saatiin arvoja hyvin läheltä nollaa volttia.

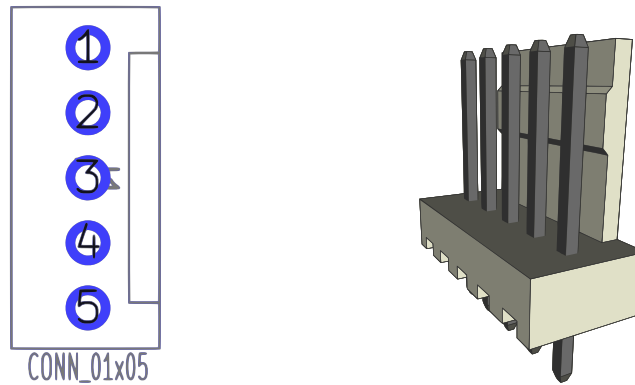
Kuvassa 3.2 on osa KiCadiin piirretystä hieman keskeneräisestä kytkentäkaaviosta, jossa näkyy yksi mittauskanava kokonaisuudessaan. Kuvasta nähdään, miten kuormavastukset rakentuvat useista rinnankytketyistä vastuksista: 30Ω vastukset ovat tehonkestoltaan yhden watin tienoilla olevia 2512 -koon pintaliitosvastuksia ja 200Ω vastukset ovat huomattavasti pienempiä 0805 -kokoluokan vastuksia. Kaksi rinnankytkettyä 200Ω vastusta tuottavaa yhden 100Ω kuorman, rinnankytkentä kasvattaa tehonkestoa ja varsin todennäköisesti pienentää hieman vastusten toleranssien vaikutusta lopulliseen vastusarvoon. J1_PinnHeader1 vastaa kahta vierekkäin piirilevyllä tulevaa viisipinnistä piikkirimaa, joihin oikosulkupaloja kytkemällä voidaan määrittää kuormavastusten arvo. Osaluettelo [BOM] ja kytkentäkaavio kokonaisuudessaan löytyvät tämän dokumentin liitteistä.



Kuva 3.2. Yhden kanavan kytkentäkaavio.

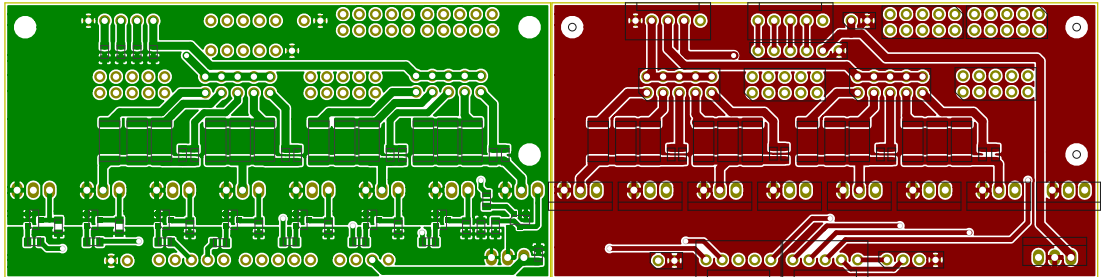
3.2. Piirilevyn suunnittelu

Piirilevyn suunnitteluun käytettiin KiCadia. Piirilevy suunniteltiin alusta alkaen itse, komponenttikirjaston pohjana sen sijaan käytettiin KiCadin mukana toimittavasta kirjastosta poimittuja komponentteja soveltuvien osien. Yhdelle kytkennässä käytetylle liittimelle ei valmiista piirilevygeometriaa kirjastosta löytynyt, joten se piti piirtää kirjastoon itse. Kuvassa 3.3 näkyy kyseiselle liittimelle valmistajan dokumentaation [7] perusteella piirretty geometria ja liittimestä saman dokumentin perusteella tehty 3D-malli. Huolellisesti tehdyt komponenttimallit poissulkevat virhemahdollisuuksia suunnittelussa. Komponenttien oikeiden ääri- viivojen näkyminen levyllä suunnitteluvaiheessa muun muassa poissulkee mahdollisuuden asetella komponentteja fyysisesti liian lähelle toisiaan. Lisäksi oikeassa mittakaavassa olevat esikuviaan muistuttavat 3D-mallit komponenteista mahdollistavat melko hyvän 3D-mallin generoimisen piirilevystä KiCadiin sisällytyllä työkalulla.



Kuva 3.3. Akkutesterissä käytettävän 5 pinnisen liittimen piirilevygeometria ja 3D-malli

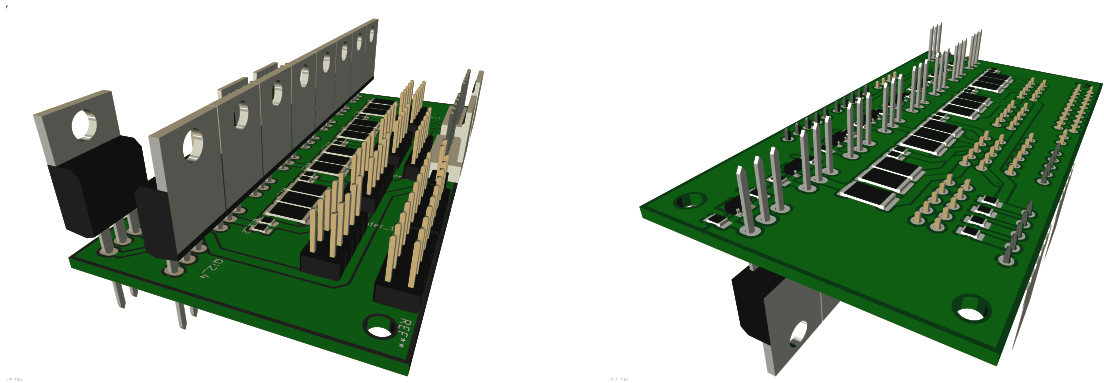
Piirilevyn fyysiset mitat haluttiin pitää mahdollisimman pieninä, levyn ko-koa rajoittavaksi tekijäksi muodostuivat lähinnä TO220-koteloidut transistorit. Kytкинtransistoriksi valikoitui tarkoitukseen varsin hyvin soveltuva IRF4227. Kyseisen transistorimallin $R_{DSon} < 0.04\Omega$, kun $V_{GS} > 7V$. Kytкинtransistoreiksi riittäisi huomattavasti heiveröisemmätkin mosfetit: IRFB4227-transistorimallille valmistajan ilmoittama virrankesto on huoneenlämmössä kymmenen voltin hila-jännitteellä 65A [8]. IRFB4227 valikoitui kytкинtransistoriksi lähinnä siksi että niitä sattui olemaan helposti saatavilla.



Kuva 3.4. Piirilevyn kuparointit ja komponenttien ääriiviivat.

Kuvassa 3.4 näkyy piirilevyn molemmat puolet: alapuolen kuparointi on kuvassa vihreällä peilikuvana ja yläpuolen kuparointi viininpunaisella. Kaksipuolisella piirilevyllä voidaan helpottaa piirilevyn suunnittelutyötä huomattavasti ja samalla mahdollistaa toiminnallisuus pienemmälle pinta-alalle. Kuparivedot pyrittiin tekemään mahdollisimman leveinä ja lyhyinä, jolloin levyllä tapahtuvat häviöt pysyvät pieninä.

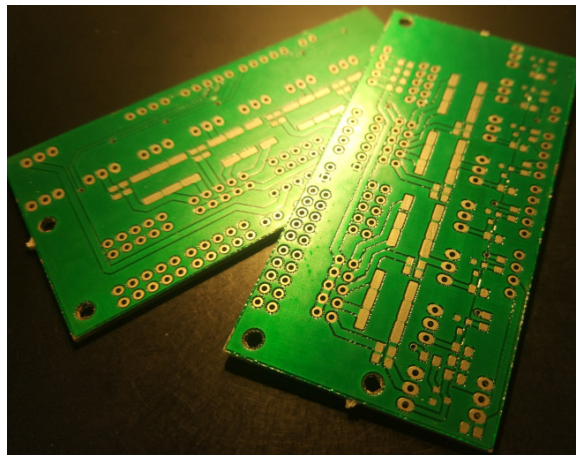
Valmiista piirilevysuunnitelmasta generoitiin kuvassa 3.5 näkyvä 3D-malli, josta tarkistettiin silmämääräisesti, että levy on fyysisesti mahdollista rakentaa ja osat asettuvat järkeviin paikkoihin. 3D-mallista on hyötyä myös mahdollisen laittekotelon suunnittelussa.



Kuva 3.5. Havainnekuva akkutesterin piirilevystä molemmilta puolilta.

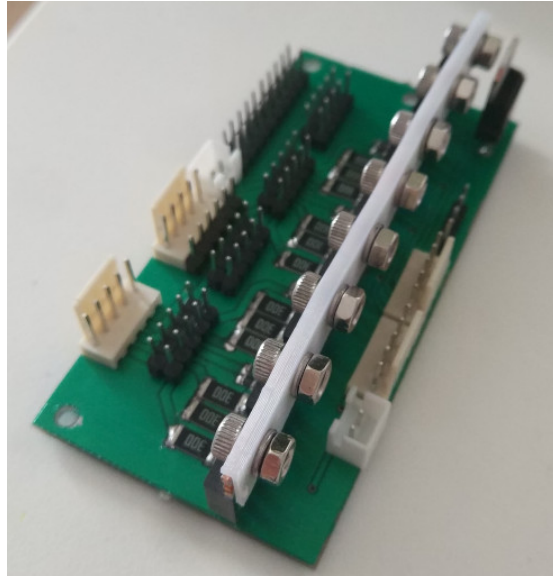
3.3. Fyysisen laitteen rakentaminen ja ohjelmistokehitys

Kuvassa 3.6 on kaksi yliopiston piirilevypajalta tilattua piirilevyä ilman komponentteja. Piirilevyjen suunnittelussa noudatettiin yliopiston piirilevypajan suunnittelusääntöjä. Piirilevytilaus tehtiin sähköpostilla, jonka liitteenä oli gerber-tiedostot piirilevyistä.



Kuva 3.6. Kaksi akkutesterin valmista piirilevyä ilman komponentteja.

Osien sijoittelu ja juottaminen piirilevylle sujui ongelmitta ja eikä piirilevyttä löytynyt suunnitteluvirheitä. Komponenttien pitkät toimitusajat hidastivat hie-man laitteen valmistumista. Komponentit juotettiin paikoilleen käsin Kuvassa 3.7 on valmiiksi kasattu piirilevy, johon ei vielä ole liitetty johtoja. Transistorit on kiinnitetty 3D tulostettuun muovikaistaleeseen, joka estää oikosulkujen muodostumisen transistorien väleille. Ratkaisu on tässä lähekkäin sijoitettujen transistorien kanssa lähes välttämätön, koska IRFB4227-transistorien selkäpuoli on yhteydessä transistorin nieluun (engl. drain). Jos selkäpuoli olisi yhteydessä lähteeseen (source) ei eristystä tarvittaisi, sillä kaikkien transistorien lähteet on kytketty maapotentiaaliin.

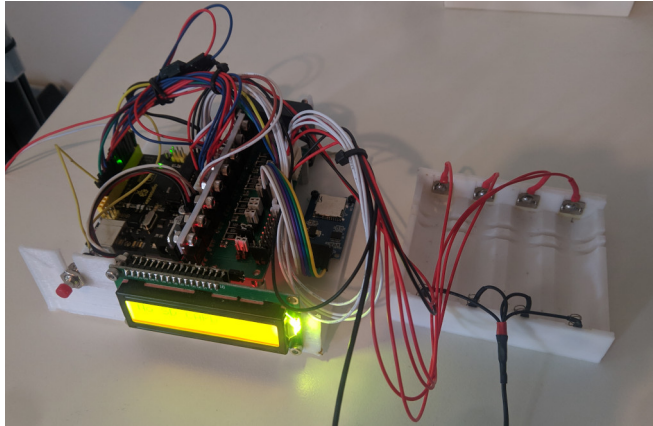


Kuva 3.7. Koottu akkutesteri.

Akkutesterille tulostettiin eri kokoisten akkujen testaamisen mahdollistava akkupidike ja piirilevyt auttavasti paikoillaan pitävä alusta. Alustaan kiinnitettiin myös 40mm laitetuuletin kierrättämään ilmaa purkuvastusten yllä, sillä neljän 3.7 Voltin litiumakun purkamisen 10Ω kuormalla lämmittää laitetta jatkuvasti suurinpiirtein $4 \cdot 10\Omega \cdot (0.37A)^2 \approx 5.5W$ teholla. Pieni puhallin riittää laskemaan vastusten pinnan lämpötilan 70 celsiusasteen tienoille, vaikka se onkin asennettu "imemään" ilmaa levyn yli puhaltamisen sijaan. Näin asennettuna tuuletin lavat ovat paremmin suojassa, ja käyttäjän on vaikeampi teloa sormiaan tuuletin lavoilla. Akkutesterin toimintaa ohjaamaan kirjoitettiin Arduinolle ohjelma, joka toteuttaa luvussa 2 kuvatun toiminnallisuuden. Ohjelmistokehityksen päätavoite oli tuottaa toimiva ohjelma, ja mahdollisuuksien mukaan myös käyttäjäystävällinen ohjelma, joka tallentaa tulokset osassa 2.5 esitetystä muodossa muistikortille. Koodi on heikosti optimoitu ja valmis ohjelma täyttää Arduino UNO:n muistin lähes kokonaan. Arduino IDE:n varoituksista huolimatta ohjelma kuitenkin vaikuttaa melko vakaalta.

Akkutesterin käyttäjärajapintana toimii pieni LCD-näyttö ja yksi nappi. Näytölle tulostetaan testattavina olevien akkujen jännitteet ja virrat, joilla akkuja puretaan. Laitteen käynnistyksen yhteydessä käyttäjällä on myös mahdollisuus asettaa kuormaresistanssin arvo oikeaksi nappia painamalla. Vastusarvon asettamisen jälkeen näytölle tulostetaan vielä vastusarvo ja vastusarvosta laskettu näyteväli ja testattavien akkujen jännitteiden perusteella määritetty alarajajännite.

Akkutesterin raudan valmistuttua ohjelmisto oli vielä pahasti kesken ja siksi ensimmäiset mittaustulokset olivat puutteellisia. Esimerkiksi impedanssimittaussekvenssin ajoitusten määrittäminen vaati hieman haarukointia, jotta akun jännite saatiin asettumaan kutakin kuormitusta vastaavalle tasolle. Laitteen debugaus oli myös paikoin hyvinkin hidasta: esimerkiksi akun tyhjentymiseen liittyvän bugin tutkiminen vaati akun purkamista raja-arvoksi asetettuun jännitteeseen asti. Tämän akun tyhjenemiseen liittyneen bugin juurisyyksi paljastui lopulta ristiin kytketyt ohjaussignaalit.

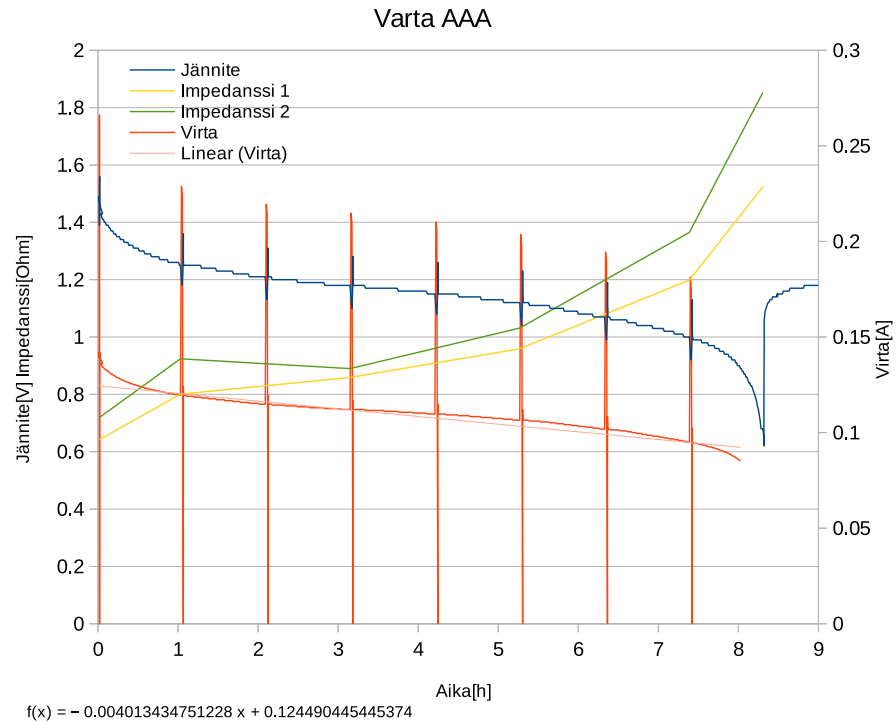


Kuva 3.8. Valmis kokonaisuus käyttövalmiina.

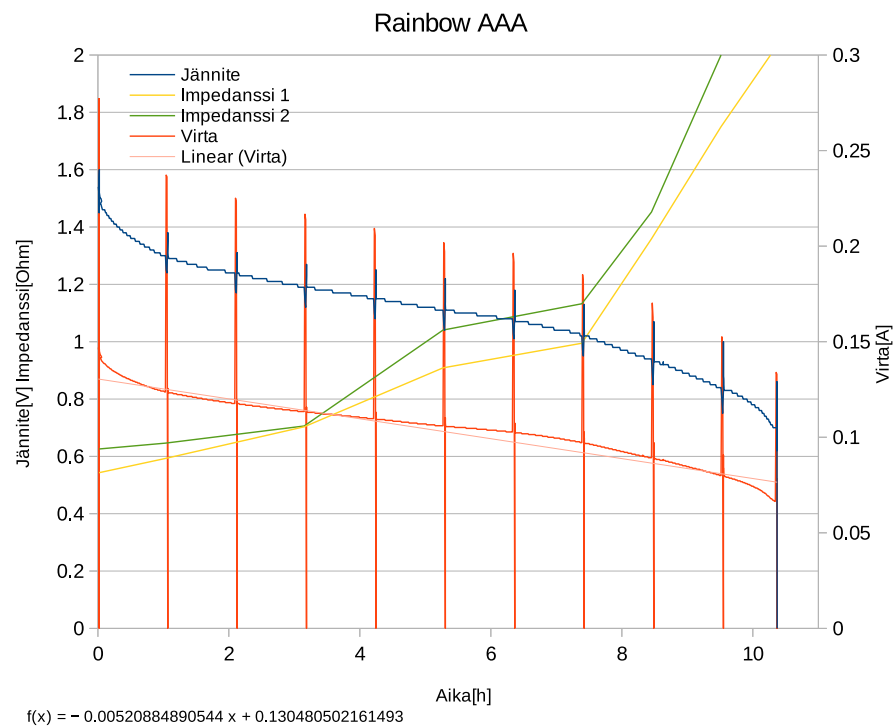
3.4. Mittaustuloksia

Seuraavassa on esitetty taulukkolaskentaohjelmalla käsiteltyjä mittaustuloksia ja tuloksista muodostettuja kuvaajia. Tulosten käsittelyä varten kehitetty taulukko piirtää virran ja jännitteen ajan funktiona automaattisesti, mutta kapasiteetin laskeminen ja impedanssikäyrän piirtäminen vaatii hieman työtä. Impedanssikäyrän piirtäminen automaattisesti ei onnistu, sillä impedanssimittauspisteet eivät ole aina samoissa kohdissa, vaikka näyteväli olisikin sama: Aina akun tyhjentyessä, sille tehdään impedanssimittaus ennen kuin akku kytketään irti kuormituspiiristä. Tämä aiheuttaa "ylimääräisten" mittapisteiden tallentumisen muistikortille, joka puolestaan siirtää muiden akkujen impedanssimittapisteitä, jolloin niitä ei voida luotettavasti poimia taulukosta automaattisesti.

Kuvissa 3.9 ja 3.10 on kahdesta eri valmistajan AAA-sormiparistoista 10.5Ω kuormalla saadut mittapisteet kuvaajaan koostettuna. Kaikissa kuvaajissa akun jännite voltteina on piirretty sinisellä viivalla, purkuvirta ampeereina oranssilla ja eri kuormituksilla lasketut impedanssiarvot ohmeina vihreällä ja keltaisella. Aika on x-akselilla tunteina. Lisäksi purkuvirralle on piirretty regressiosuora.

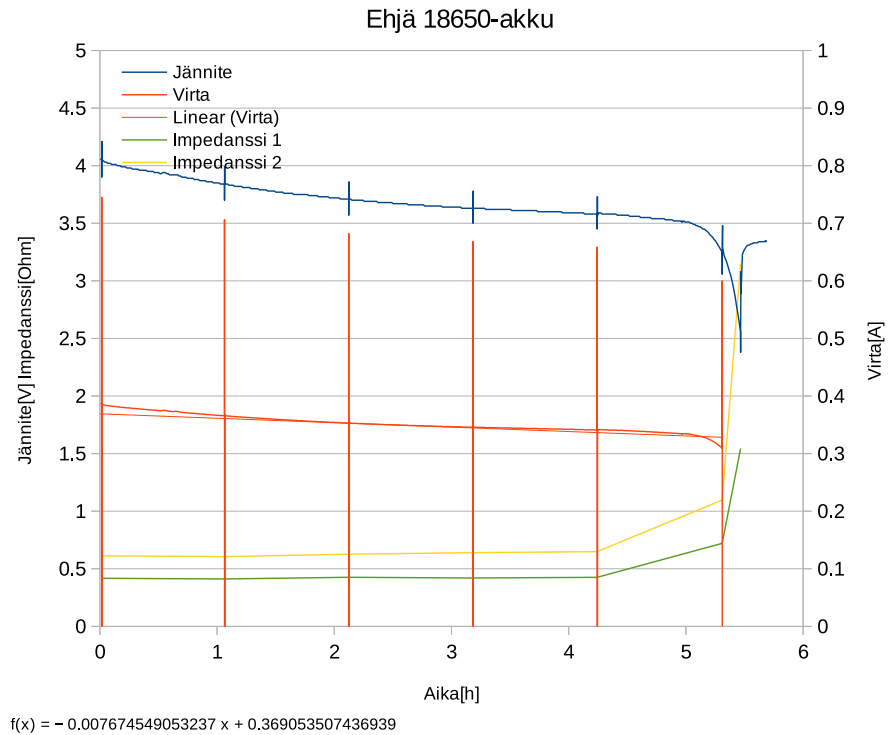


Kuva 3.9. Varta AAA-patterin kapasiteetiksi saadaan kaavan 6 avulla laskettua 0.90Ah. Regressiosuoraa integroimalla ajan suhteen välillä 0,8-1,3 kapasiteetiksi saadaan puolestaan 0.88Ah.



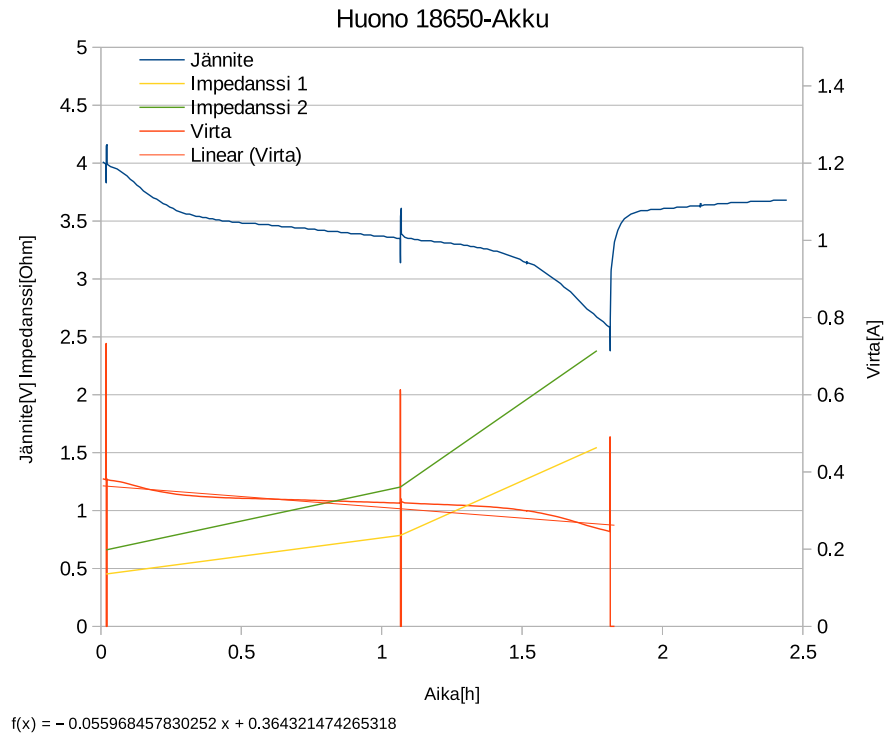
Kuva 3.10. Kuvan mittauksessa Rainbow AAA-patterin kapasiteetiksi saatiin 1.09Ah

Kuvassa 3.11 on hyväkuntoisesta 18650-litiumakusta 10.5Ω kuormalla mitatut tulokset. Korkeamman napajännitteen vuoksi litiumakusta saadaan samalla kuormalla suurempi purkuvirta, jolloin akku myös tyhjenee lyhyemmässä ajassa. Lähtöimpedanssi pysyy hyväkuntoisessa litiumakussa huomattavasti patterin lähtöimpedanssia paremmin vakiona. Täyden litiumakun lähtöimpedanssi on myös hieman pienempi täyteen AAA-patteriin verrattuna.



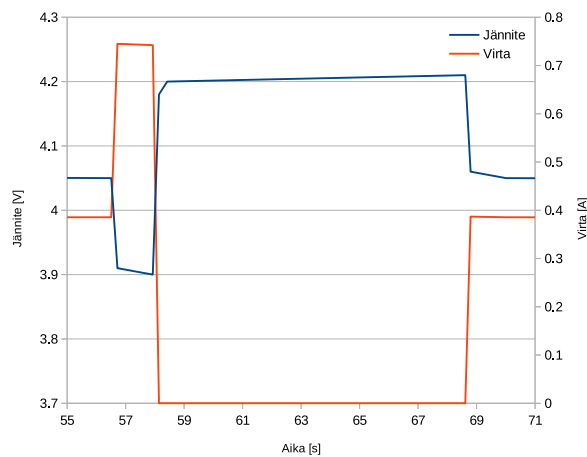
Kuva 3.11. Hyväkuntoisen, vanhankin 18650-litiumakun kapasiteetti voi olla vielä lähellä alkuperäistä kapasiteettia. Tässä mitatun akun kapasiteetti oli akkutesterin mittauksista laskettuna 1.9Ah

Kuvassa 3.12 on elinkaarensa päähän tulleesta 18650 litiumakusta saadut mitaustulokset. Kuten kuvaajasta havaitaan, impedanssimittauksia kyseiselle akulle ehdittiin tehdä akkutesterissä käytössä olleilla asetuksilla vain kolme. Jos huonokuntoisia akkuja haluttaisiin tutkia tarkemmin, olisi akkutesterin asetuksia muutettava. Esimerkiksi purkuvirran pienentäminen ja impedanssimittauksen näytteistystaajuuden kasvattaminen antaisivat akun käyttäytymisestä lisätietoja.



Kuva 3.12. Elinkaarensa päähän tulleen 18650-kennon kapasiteetti saattaa olla hyvinkin alhainen, tässä mitatun akun kapasiteetti oli 0.58Ah

Kuvassa 3.13 on suurennettuna impedanssimittaukseen käytetty todellinen sekvenssi. Impedanssimittauksessa akkua kuormitettiin suuremmalla virralla sekunnin ajan, minkä jälkeen kuormituspiiri kytkettiin avoimeksi ja akkujen jännitteen annettiin palautua 10 sekuntia. Impedanssimittauksen päätyttyä akkujen purkamista jatkettiin normaalisti.



Kuva 3.13. impedanssimittaus

AAA-pattereille mitatut kapasiteetit on varsin lähellä Energizerin datalehdessä [9] 100mA virralla ilmoittamaa noin 1Ah kapasiteettilukemaa. Vertailukohtana on Energizerin datalehti, koska mitattujen patterien (Varta ja Rainbow)

datalehtiä ei kirjoitushetkellä ollut helposti saatavilla. Voidaan kuitenkin olettaa että kaikkien nykyaikaisten AAA-patterien suunniteltu kapasiteetti on likimain sama.

Mitatun hyväkuntoisen litiumakun alkuperäinen kapasiteetti ei ole tiedossa, koska akun suojamuoviin painetut merkinnät eivät ole lukukelpoisia, ja akun datasivun etsiminen ei siksi onnistu. Voidaan kuitenkin olettaa että alkuperäinen kapasiteetti on lähellä kahta ampeerituntia, kuten lähteenä [4] olevassa saman kokoluokan akun datasivussa.

4. POHDINTA

Kokonaisuutena tämä kandidaatin työ onnistui varsin hyvin: toimiva laite saatiin rakennettua, jolla kyettiin tekemään mittauksia halutusti. Parannettavaa laitteen elektroniikassa ja ohjelmistossa on kuteinkin melkoisesti. Työssä rakennetulla testerillä on melko vaikea tehdä mittauksia ja virheen mahdollisuuskin on suuri, sillä mittaustulosprosessi on melko monivaiheinen. Mittaustuloksien tarkkuutta voitaisiin parantaa käyttäjärajapinnan kehittämisen ohella myös parantelemalla akkutesterin elektroniikkaa ja ohjelmistoa.

Virran mittaukseen saataisiin huomattavasti parempi tarkkuus esimerkiksi hyödyntämällä virranmittauksessa hyvin pientä vastusta, jonka yli olevaa jännitettä vahvistettaisiin sopivalla vahvistimella, esimerkiksi Texas Instrumentsin INA180:lla [10]. Jännitemittauksen resoluutiota puolestaan voitaisiin parantaa puolentoista voltin patterien tapauksessa käyttämällä mittauksessa referenssijännitteenä jännitettä, joka on lähempänä mitattavan patterin jännitettä.

Paremmen A/D-muuntimen käyttäminen luonnollisesti parantaisi jännitemittauksen tarkkuutta, mutta tekisi akkutesteristä todennäköisesti myös monimutkaisemman. Arduinon korvaaminen akkutesterin kanssa samalle levyllä integroidulla, paremmin käyttötarkoitukseen räätälöidyllä mikrokontrollerilla tarjoaisi uusia mahdollisuuksia akkutesterin käyttäjärajapinnan ja toiminnallisuuden kehittämiseen. Akkujen purkamisen ohella olisi näppärää jos testerillä osaisi ladata akkuja ja ehkä mitatakin jotain ominaisuuksia ladatessaan.

Akkutesterille kirjoitettu arduinokoodi on varsin kankea: Ominaisuuksia lisättiin aiemmin kirjoitettuihin funktioihin jälkepäin, muistamatta täysin miten aiemmin kirjoitettu koodi toimii. Lopputuloksena koodia tuli valtava määrä ja se täyttää useine muuttujineen arduinon lähes koko muistin. Akkutesterin tuottaman datan käsittelyä ymmärrettäväksi mittaustuloksiksi voitaisiin helpottaa huomattavasti kirjoittamalla mittaustulosten tallentamisesta huolehtiva koodi uudelleen siten että datan käsittely onnistuisi taulukkolaskentaohjelmalla automaattisesti. Yksi helposti toteutettava ratkaisu voisi olla tallentaa impedanssimittaukset eri tiedostoon, kuin varsinaiset kapasiteettimittaukset.

5. YHTEENVETO

Tässä työssä on kuvattu kokonaisuudessaan, joskin paikoin ylimalkaisesti elektronikkalaitteen kehitysprosessi ideasta toimivaksi prototyypiksi. Kuvailtu kehitysprosessi pitää sisällään ohjelmointia, elektroniikka- ja piirilevysuunnittelua sekä jonkin verran taulukkolaskentaohjelman käyttöä.

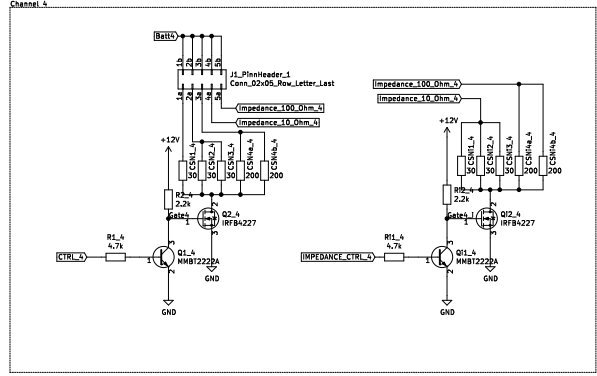
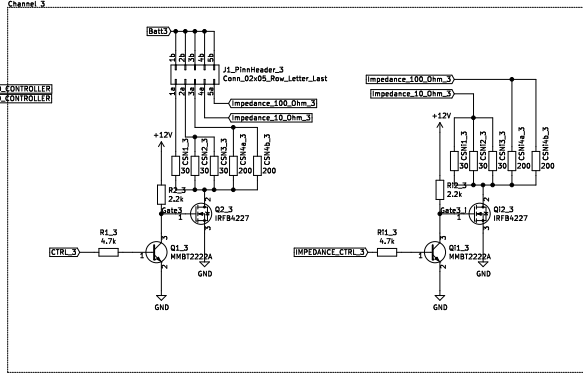
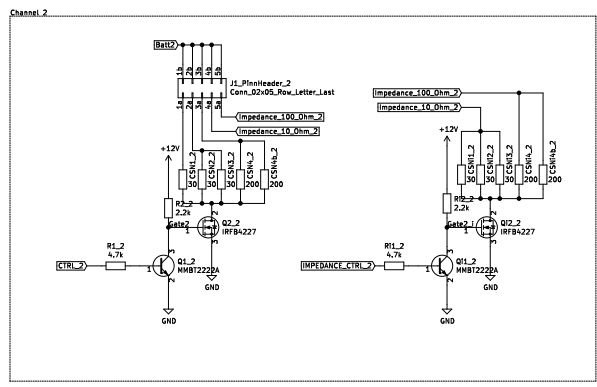
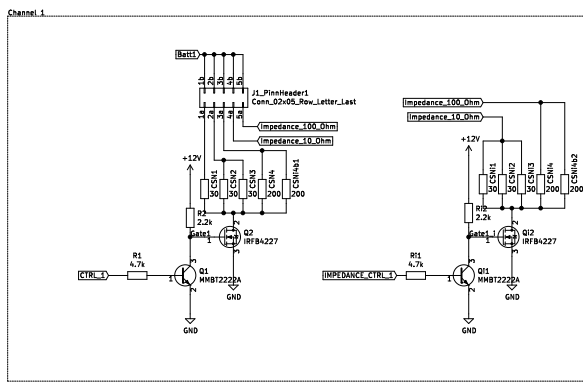
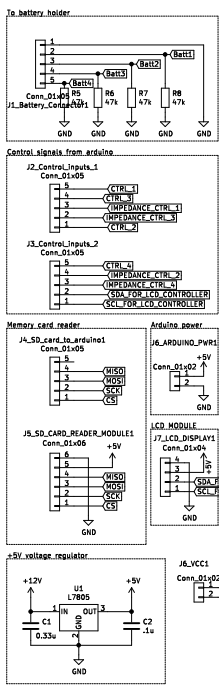
Kehitetyllä laitteella saatuja tuloksia on myös esitelty lyhyesti. Saadut mitaustulokset olivat ennako-oletusten mukaisia; akkutesterillä kyettiin tunnistamaan heikkokuntoinen akku ja lähtöimpedanssin voimakas kasvu akun varauksen alentuessa. Lisäksi mitaustulokset onnistuttiin muuttamaan raakadataa ymmärrettävämmiksi kuvaajiksi.

LÄHTEET

- [1] "IEEE/ASTM Standard for Use of the International System of Units (SI): The Modern Metric System". *IEEE/ASTM SI 10-1997* (heinäkuu 1997), s. 1–70. ISSN: null. DOI: 10.1109/IEEESTD.1997.83671 (ks. s. 7).
- [2] *BU-902: How to Measure Internal Resistance*. URL: https://batteryuniversity.com/learn/article/how_to_measure_internal_resistance (ks. s. 8).
- [3] *PRODUCT DATASHEET*. ENERGIZER E91 AA. ENERGIZER. URL: <https://data.energizer.com/pdfs/e91.pdf> (viitattu 17.03.2020) (ks. s. 9).
- [4] *LIR18650 Specification*. LIR18650. Versio 0.0. EEMB. 14. elokuuta 2015. URL: <https://www.eemb.com/public/image/download/LIR18650.pdf> (viitattu 17.03.2020) (ks. s. 9, 22).
- [5] *A Guide to Understanding Battery Specifications*. MIT Electric Vehicle Team. Joulukuu 2008. URL: https://web.mit.edu/evt/summary_battery_specifications.pdf (viitattu 17.03.2020) (ks. s. 10).
- [6] *megaAVR® Data Sheet*. ATmega48A/PA/88A/PA/168A/PA/328/P. MICROCHIP. 2018, s. 256. URL: <http://ww1.microchip.com/downloads/en/DeviceDoc/ATmega48A-PA-88A-PA-168A-PA-328-P-DS-DS40002061A.pdf> (viitattu 18.03.2020) (ks. s. 11).
- [7] *Wire-to-board connector 2510*. Chinese. PB131. BOOMELE. URL: https://datasheet.lcsc.com/szlcsc/1811151526_BOOMELE-Boom-Precision-Elec-C27544_C27544.pdf (viitattu 23.03.2020) (ks. s. 14).
- [8] *IRFB4227PbF*. International Rectifier. 2007. URL: <https://www.infineon.com/dgdl/irfb4227pbf.pdf?fileId=5546d462533600a401535615eb531e1f> (viitattu 25.03.2020) (ks. s. 15).
- [9] *PRODUCT DATASHEET*. ENERGIZER E92 AAA. ENERGIZER. URL: <https://data.energizer.com/PDFs/E92.pdf> (viitattu 07.07.2020) (ks. s. 21).
- [10] *2INA180, INA2180, INA4180*. Texas Instruments. 2017. URL: https://www.ti.com/lit/ds/symlink/ina180.pdf?ts=1592240993791&ref_url=https%253A%252F%252Fwww.ti.com%252Fproduct%252FINA180 (viitattu 15.06.2020) (ks. s. 23).

LIITTEET

5.1. Kytkenäkaavio



Sheet: /
 File: battester_skema.sch
TITLE:
 Size: A3 Date: 23.1.2020 Rev:
 Kicad E.D.A. kicad (5.1.5)-3 Id: 1/1

5.2. BOM

battester_bom

Battester_BOM

Date: 15/08/2020 18:37:20

Tool: Eeschema (5.1.5)-3

Component Count: 91

Ref	Value	
C1	0.33u	
C2	.1u	
CSN1		30
CSN1_2		30
CSN1_3		30
CSN1_4		30
CSN2		30
CSN2_2		30
CSN2_3		30
CSN2_4		30
CSN3		30
CSN3_2		30
CSN3_3		30
CSN3_4		30
CSN4		200
CSN4_2		200
CSN4a_3		200
CSN4a_4		200
CSN4b_2		200
CSN4b_3		200
CSN4b_4		200
CSNi1		30
CSNi1_2		30
CSNi1_3		30
CSNi1_4		30
CSNi2		30
CSNi2_2		30
CSNi2_3		30
CSNi2_4		30
CSNi3		30
CSNi3_2		30
CSNi3_3		30
CSNi3_4		30
CSNi4		200
CSNi4_2		200
CSNi4a_3		200
CSNi4a_4		200
CSNi4b1		200
CSNi4b2		200
CSNi4b_2		200
CSNi4b_3		200
CSNi4b_4		200
J1_Battery_Connector1	Conn_01x05	
J1_PinnHeader1	Conn_02x05_Row_Letter_Last	

battester_bom

J1_PinnHeader_1	Conn_02x05_Row_Letter_Last
J1_PinnHeader_2	Conn_02x05_Row_Letter_Last
J1_PinnHeader_3	Conn_02x05_Row_Letter_Last
J2_Control_inputs_1	Conn_01x05
J3_Control_inputs_2	Conn_01x05
J4_SD_card_to_arduino1	Conn_01x05
J5_SD_CARD_READER_MODULE1	Conn_01x06
J6_ARDUINO_PWR1	Conn_01x02
J6_VCC1	Conn_01x02
J7_LCD_DISPLAY1	Conn_01x04
Q1	MMBT2222A
Q1_2	MMBT2222A
Q1_3	MMBT2222A
Q1_4	MMBT2222A
Q2	IRFB4227
Q2_2	IRFB4227
Q2_3	IRFB4227
Q2_4	IRFB4227
Qi1	MMBT2222A
Qi1_2	MMBT2222A
Qi1_3	MMBT2222A
Qi1_4	MMBT2222A
Qi2	IRFB4227
Qi2_2	IRFB4227
Qi2_3	IRFB4227
Qi2_4	IRFB4227
R1	4.7k
R1_2	4.7k
R1_3	4.7k
R1_4	4.7k
R2	2.2k
R2_2	2.2k
R2_3	2.2k
R2_4	2.2k
R5	47k
R6	47k
R7	47k
R8	47k
Ri1	4.7k
Ri1_2	4.7k
Ri1_3	4.7k
Ri1_4	4.7k
Ri2	2.2k
Ri2_2	2.2k
Ri2_3	2.2k
Ri2_4	2.2k
U1	L7805

5.3. Arduino-ohjelmakoodi

```

1 // BATTERY TESTER
2 // 1.1.2020 Osmo Kitunen
3
4 // PINMAP
5 /*SD CARD
6 =====
7 CS -> D4
8 SCK -> D13
9 MOSI -> D11
10 MISO -> D12
11
12 LCD
13 =====
14 SCL -> A5
15 SDA -> A4
16
17 MEAS CONTROL
18 =====
19
20 B1 -> D2
21 B2 -> D8
22 B3 -> D7
23 B4 -> D10
24
25 BI1 -> D3
26 BI2 -> D5
27 BI3 -> D6
28 BI4 -> D9
29 MEAS
30 =====
31 B1 = A0
32 B2 = A1
33 B3 = A2
34 B4 = A3
35
36 Measured resistance:
37 231mA
38 3.556V
39 U=RI
40  $R = 3.556V / 0.231A = 15.39\Omega$ 
41 */
42
43 #include <LiquidCrystal_I2C.h>
44 #include <SD.h>
45 // #include <stdio.h>
46 // #include <string.h>
47
48
49 // Control signals for discharging batteries
50 int B1C = 2;
51 int B2C = 8;
52 int B3C = 7;
53 int B4C = 10;
54
55 // Control signals for additional load
56 int B1CA = 3;
57 int B2CA = 5;
58 int B3CA = 6;
59 int B4CA = 9;
60 int sw1 = 0;
61
62 // Variables for sotoring battery values before saving to file
63 // int b0_val;
64 // int b1_val;
65 // int b2_val;
66 // int b3_val;
67 float b0_convert;
68 float b1_convert;
69 float b2_convert;
70 float b3_convert;
71
72 // Initial values for current sense resistors
73 // too little I/O in arduino uno, no pins left for setup user interface

```



```

74 // float csn_0 = 15.5;
75 // float csn_1 = 15.5;
76 // float csn_2 = 15.5;
77 // float csn_3 = 15.5;
78 float csn_0;
79 float csn_1;
80 float csn_2;
81 float csn_3;
82 float csn_a0 = 10.5;
83 float csn_a1 = 10.5;
84 float csn_a2 = 10.5;
85 float csn_a3 = 10.5;
86
87 //Flags for discharge status
88 boolean drain1;
89 boolean drain2;
90 boolean drain3;
91 boolean drain4;
92
93 boolean cut1 = false;
94 boolean cut2 = false;
95 boolean cut3 = false;
96 boolean cut4 = false;
97
98
99 //int i;
100 /*int b1 =
101 int b2 =
102 int b3 =
103 int b4 =*/
104 const int chipSelect = 4;
105 String dataString = "";
106 float cutoff = 0;
107 boolean run1 = true;
108 boolean run2 = true;
109 boolean run3 = true;
110 boolean run4 = true;
111
112 LiquidCrystal_I2C lcd(0x27,16,2);
113 void writeFile(boolean current_normal);
114 void discharge(boolean enable1, boolean enable2, boolean enable3, boolean enable4);
115 void impedance(boolean ienable, boolean enable1, boolean enable2, boolean enable3,
boolean enable4);
116 String current(boolean normal);
117 String voltage();
118 void discharge(boolean enable1, boolean enable2, boolean enable3, boolean enable4);
119 // void check_sd();
120
121 // char filename[15] = "TEST";
122
123 // the setup routine runs once reset occurs:
124 void setup() {
125 // initialize LCD.
126 lcd.init();
127 lcd.backlight();
128 lcd.setCursor(0,0);
129 lcd.print("Initializing");
130 //Initialize control signals outputs to be HIGH
131 pinMode(B1C, INPUT_PULLUP);
132 pinMode(B2C, INPUT_PULLUP);
133 pinMode(B3C, INPUT_PULLUP);
134 pinMode(B4C, INPUT_PULLUP);
135 pinMode(B1CA, INPUT_PULLUP);
136 pinMode(B2CA, INPUT_PULLUP);
137 pinMode(B3CA, INPUT_PULLUP);
138 pinMode(B4CA, INPUT_PULLUP);
139 //configure control pins as outputs
140 pinMode(B1C, OUTPUT);
141 pinMode(B2C, OUTPUT);
142 pinMode(B3C, OUTPUT);
143 pinMode(B4C, OUTPUT);
144 pinMode(B1CA, OUTPUT);
145 pinMode(B2CA, OUTPUT);

```

```

146 pinMode(B3CA, OUTPUT);
147 pinMode(B4CA, OUTPUT);
148 // voltage measurement pins as analog inputs
149 pinMode(A0, INPUT);
150 pinMode(A1, INPUT);
151 pinMode(A2, INPUT);
152 pinMode(A3, INPUT);
153 //begin serial for debug purposes
154 Serial.begin(9600);
155
156 ////////////////////////////////////////////////////////////////////////////////////////////////////////////////////////////////////
157 //SD CARD INITIALIZATION FROM DATALOGGER EXAMPLE
158 ////////////////////////////////////////////////////////////////////////////////////////////////////////////////////////////////////
159 Serial.print("Initializing SD card...");
160 // make sure that the default chip select pin is set to
161 // output, even if you don't use it:
162 //pinMode(4, OUTPUT);
163 // see if the card is present and can be initialized:
164 if (!SD.begin(chipSelect)) {
165     Serial.println("Card failed, or not present");
166     lcd.clear();
167     lcd.setCursor(0,0);
168     lcd.print("No SD CARD");
169     delay(5000);
170     run1 = false;
171     run2 = false;
172     run3 = false;
173     run4 = false;
174     while(1){
175         delay(10000);
176     }
177     // return;
178 }
179 //check battety voltages and determine cutoff voltage
180 voltage();
181 float n = 0.0;
182 float sum = 0.0;
183 float mean = 0.0;
184 Serial.println("Setup debug");
185 if (b0_convert > 0.5){
186     sum = sum + b0_convert;
187     n++;
188     Serial.print("N1: ");
189     Serial.println(n);
190 }
191 else {
192     sum = sum;
193     run1 = false;
194 }
195
196 if (b1_convert > 0.5){
197     sum = sum + b1_convert;
198     n++;
199     Serial.print("N2: ");
200     Serial.println(n);
201 }
202 else {
203     sum = sum;
204     run2 = false;
205 }
206 if (b2_convert > 0.5){
207     sum = sum + b2_convert;
208     n++;
209     Serial.print("N3: ");
210     Serial.println(n);
211 }
212 else {
213     sum = sum;
214     run3 = false;
215 }
216 if (b3_convert > 0.5){
217     sum = sum + b3_convert;
218     n++;

```

```

219     Serial.print("N4: ");
220     Serial.println(n);
221 }
222 else {
223     sum = sum;
224     run4 = false;
225 }
226 mean = (sum/n);
227
228 if (n == 0) {
229     cutoff = 0;
230     lcd.clear();
231     lcd.setCursor(0,0);
232     lcd.print("No batteries");
233     delay(4000);
234     run1 = false;
235     run2 = false;
236     run3 = false;
237     run4 = false;
238     while(1){
239         delay(10000);
240     }
241
242 }
243 else if (4.3 > mean && 3.4 < mean) {
244     cutoff = 2.6;
245     delay(100);
246 }
247 else if (1.7 > mean && 1.3 < mean) {
248     cutoff = 0.7;
249     delay(100);
250 }
251 else {
252     lcd.clear();
253     lcd.setCursor(0,0);
254     lcd.print("err:Unknown batt");
255     delay(5000);
256     return;
257 }
258 //delay(1000);
259 lcd.clear();
260 lcd.clear();
261 lcd.setCursor(0,0);
262 lcd.print(n);
263 lcd.setCursor(2,0);
264 lcd.print("pcs");
265 lcd.setCursor(6,0);
266 lcd.print("Batteries");
267
268 lcd.setCursor(0,1);
269 lcd.print("Avg volts");
270 lcd.setCursor(10,1);
271 lcd.print(mean);
272 lcd.setCursor(15,1);
273 lcd.print("V");
274 delay(3000);
275 csn_0 = menu();
276 csn_1 = csn_0;
277 csn_2 = csn_0;
278 csn_3 = csn_0;
279 lcd.clear();
280 lcd.setCursor(0,0);
281 lcd.print("Cutoff set to:");
282 lcd.setCursor(0,1);
283 lcd.print(cutoff); //print cutoff voltage to LCD
284 delay(3000); //wait 3s
285 //check what files are present and create file for saving data
286 File dataFile = SD.open("DATAFILE.txt", FILE_WRITE);
287 dataFile.println();
288 dataFile.println
289 ("=====");
290 dataFile.println("Elapsed, Akku1 U, Akku2 U, Akku3 U, Akku4 U, Akku1 I, Akku2 I,
Akku3 I, Akku4 I");

```

```

290     dataFile.println
291     ("=====");
292     dataFile.println();
293     delay(100);
294     dataFile.close();
295     lcd.clear();
296     lcd.setCursor(0,0);
297     lcd.print("Sampletime: ");
298     lcd.setCursor(0,1);
299     lcd.print((csn_0*4*1000));
300     delay(2000); //wait 2s
301     lcd.clear();
302     lcd.setCursor(0,0);
303     lcd.print("Initialization");
304     lcd.setCursor(0,1);
305     lcd.print("COMPELETE");
306     delay(2000); //wait 2s  lcd.clear();
307     // Serial.println("card initialized.");
308 }
309 float menu(){
310     lcd.clear();
311     lcd.setCursor(0,0);
312     lcd.print("CSN is 10.5ohm");
313     lcd.setCursor(0,1);
314     lcd.print("button to setup");
315     // float cns_value = 10.5;
316     float valid_values[4] = {10.5, 15.5, 30.5, 100.5};
317     //delay(2000);
318     //Serial.println("entering setup");
319     boolean in_setup = true;
320     int start_time = millis();
321     int modes[4];
322     int index = 0;
323     // int sw1_state;
324     while(in_setup){
325         // sw1_state = digitalRead(sw1);
326         // Serial.println(sw1_state);
327         if(digitalRead(sw1) == 0){
328             //delay(500);
329             //start_time = millis();
330             lcd.clear();
331             lcd.setCursor(0,0);
332             lcd.print("Press Button to");
333             lcd.setCursor(0,1);
334             lcd.print("Change Mode");
335             if(digitalRead(sw1) == 0){
336                 index++;
337                 if (index > 3){
338                     index = 0;
339                 }
340                 lcd.clear();
341                 lcd.setCursor(0,0);
342                 lcd.print("CSN set to:");
343                 lcd.setCursor(0,1);
344                 lcd.print(valid_values[index]);
345                 // Serial.print("Index: ");
346                 // Serial.println(index);
347                 start_time = millis();
348                 delay(100);
349             }
350             if ((millis() - start_time) > 7500){
351                 in_setup = false;
352             }
353         }
354         if ((millis() - start_time) > 7500){
355             in_setup = false;
356         }
357     }
358     lcd.clear();
359     lcd.setCursor(0,0);
360     lcd.print("Setup done");
361     lcd.setCursor(0,1);

```

```

362     lcd.print(valid_values[index]);
363     delay(3000);
364     return(valid_values[index]);
365 }
366
367
368 void discharge(boolean enable1, boolean enable2, boolean enable3, boolean enable4){
369     if (enable1) {
370         digitalWrite(B1C, LOW);
371         drain1 = true;
372     }
373     else {
374         digitalWrite(B1C, HIGH);
375         drain1 = false;
376     }
377     if (enable2) {
378         digitalWrite(B2C, LOW);
379         drain2 = true;
380     }
381     else {
382         digitalWrite(B2C, HIGH);
383         drain2 = false;
384     }
385     if (enable3) {
386         digitalWrite(B3C, LOW);
387         drain3 = true;
388     }
389     else {
390         digitalWrite(B3C, HIGH);
391         drain3 = false;
392     }
393     if (enable4) {
394         digitalWrite(B4C, LOW);
395         drain4 = true;
396     }
397     else {
398         digitalWrite(B4C, HIGH);
399         drain4 = false;
400     }
401 }
402
403 void impedance(boolean ienable, boolean enable1, boolean enable2, boolean enable3,
boolean enable4) {
404     if ( cut1 || cut2 || cut3 || cut4 ){
405         if (cut1) {
406             discharge(cut1, run2, run3, run4);
407             writeFile(false, true, true, true);
408             delay(1000);
409             writeFile(false, true, true, true);
410             digitalWrite(B1CA, LOW);
411             cut1 = false;
412             writeFile(false,true, true, true); //write values to file //2
413             delay(1000);
414             writeFile(false,true, true, true);//3
415             digitalWrite(B1CA, HIGH);
416             discharge(false, run2, run3, run4);
417         }
418         if (cut2) {
419             discharge(run1, cut2, run3, run4);
420             writeFile(true, false, true, true);
421             delay(1000);
422             writeFile(true, false, true, true);
423             digitalWrite(B2CA, LOW);
424             cut2 = false;
425             writeFile(true, false, true, true); //write values to file //2
426             delay(1000);
427             writeFile(true, false, true, true);//3
428             digitalWrite(B2CA, HIGH);
429             discharge(run1, false, run3, run4);
430         }
431         if (cut3) {
432             discharge(run1, run2, cut3, run4);
433             writeFile(true, true, false, true);

```

```

434     delay(1000);
435     writeFile(true, true, false, true);
436     digitalWrite(B3CA, LOW);
437     cut3 = false;
438     writeFile(true, true, false, true); //write values to file //2
439     delay(1000);
440     writeFile(true, true, false, true); //3
441     digitalWrite(B3CA, HIGH);
442     discharge(run1, run2, false, run4);
443 }
444 if (cut4) {
445     discharge(run1, run2, run3, cut4);
446     writeFile(true, true, true, false); //1
447     delay(1000);
448     writeFile(true, true, true, false); //1
449     digitalWrite(B4CA, LOW);
450     cut4 = false;
451     writeFile(true, true, true, false); //write values to file //2
452     delay(1000);
453     writeFile(true, true, true, false); //3
454     digitalWrite(B4CA, HIGH);
455     discharge(run1, run2, run3, false);
456 }
457 writeFile(true, true, true, true); //4
458 delay(100);
459 writeFile(true, true, true, true); //6
460 delay(10000);
461 writeFile(true, true, true, true); //9
462 discharge(run1, run2, run3, true);
463 writeFile(true, true, true, true); //10
464 delay(1000);
465 writeFile(true, true, true, true); //10
466 discharge(run1, run2, run3, run4);
467 return;
468 }
469 else if (!ienable) {
470     digitalWrite(B1CA, HIGH);
471     digitalWrite(B2CA, HIGH);
472     digitalWrite(B3CA, HIGH);
473     digitalWrite(B4CA, HIGH);
474     return;
475 }
476
477 else { //impedance measurement active
478     writeFile(true, true, true, true); //save values right before starting
479     //impedance measurement sequence //1
480     //add load to batteries
481     if (enable1) {
482         digitalWrite(B1CA, LOW);
483     }
484     else {
485         digitalWrite(B1CA, HIGH);
486     }
487     if (enable2) {
488         digitalWrite(B2CA, LOW);
489     }
490     else {
491         digitalWrite(B2CA, HIGH);
492     }
493     if (enable3) {
494         digitalWrite(B3CA, LOW);
495     }
496     else {
497         digitalWrite(B3CA, HIGH);
498     }
499     if (enable4) {
500         digitalWrite(B4CA, LOW);
501     }
502     else {
503         digitalWrite(B4CA, HIGH);
504     }
505     writeFile(false, false, false, false); //write values to file //2

```

```

506     delay(1000);
507     writeFile(false,false, false, false);//3
508     digitalWrite(B1CA, HIGH);// disconnect all load from batteries
509     digitalWrite(B2CA, HIGH);
510     digitalWrite(B3CA, HIGH);
511     digitalWrite(B4CA, HIGH);
512     discharge(false, false, false, false);
513     writeFile(true, true, true, true);//4
514     delay(100); //wait 0.01s
515     writeFile(true, true, true, true); //write values to file//6
516     delay(10000); //wait some 10s
517     writeFile(true, true, true, true);//9
518     discharge(enable1, enable2, enable3, enable4); //enable normal battery
519     discharging
520     writeFile(true, true, true, true);//9
521     delay(1000);
522     writeFile(true, true, true, true);//10
523 }
524 }
525 String voltage() {
526     //reads values from analog inputs and returns a string with voltage values
527     int b0_val = analogRead(A0);//(5*A0/1024);
528     int b1_val = analogRead(A1);//(5*A1/1024);
529     int b2_val = analogRead(A2);//(5*A2/1024);
530     int b3_val = analogRead(A3);//(5*A3/1024);
531     String v_output = "";
532     //convert analog read values to voltages (multiplied with reference voltage)
533     b0_convert = 5*b0_val/1024.0;
534     b1_convert = 5*b1_val/1024.0;
535     b2_convert = 5*b2_val/1024.0;
536     b3_convert = 5*b3_val/1024.0;
537     //check if voltages are > cutoff voltage
538     if (run1 && b0_convert < cutoff){
539         // impedance(true);
540         run1 = false;
541         cut1 = true;
542     }
543     if (run2 && b1_convert < cutoff){
544         // impedance(true);
545         run2 = false;
546         cut2 = true;
547     }
548     if (run3 && b2_convert < cutoff){
549         // impedance(true);
550         run3 = false;
551         cut3 = true;
552     }
553     if (run4 && b3_convert < cutoff){
554         // impedance(true);
555         run4 = false;
556         cut4 = true;
557     }
558     //append values to a string that can later be saved in a file
559     v_output += b0_convert;
560     v_output += ",";
561     v_output += b1_convert;
562     v_output += ",";
563     v_output += b2_convert;
564     v_output += ",";
565     v_output += b3_convert;
566
567     // Serial.print("Voltages: ");
568     // Serial.print(v_output);
569     // Serial.println("[V]");
570     return v_output;
571 }
572
573 String current(boolean normal1, boolean normal2, boolean normal3, boolean normal4) {
574     float i1;
575     float i2;
576     float i3;
577     float i4;

```

```

578     float csn0;
579     float csn1;
580     float csn2;
581     float csn3;
582     String i_output = "";
583     //calculate resistance if measuring impedance
584
585     if (!normal1 && !normal2 && !normal3 && !normal4) {
586         csn0 = 1/((1/csn_0)+(1/csn_a0));
587         // Serial.println(csn_0);
588         csn1 = 1/((1/csn_1)+(1/csn_a1));
589         // Serial.println(csn_1);
590         csn2 = 1/((1/csn_2)+(1/csn_a2));
591         // Serial.println(csn_2);
592         csn3 = 1/((1/csn_3)+(1/csn_a3));
593         // Serial.println(csn_3);
594     }
595     else if (!normal1) {
596         csn0 = 1/((1/csn_0)+(1/csn_a0));
597         csn1 = csn_1;
598         csn2 = csn_2;
599         csn3 = csn_3;
600         // Serial.println(csn_0);
601     }
602     else if (!normal2) {
603         csn1 = 1/((1/csn_1)+(1/csn_a1));
604         csn0 = csn_1;
605         csn2 = csn_2;
606         csn3 = csn_3;
607         // Serial.println(csn_1);
608     }
609     else if (!normal3) {
610         csn2 = 1/((1/csn_2)+(1/csn_a2));
611         csn1 = csn_1;
612         csn0 = csn_2;
613         csn3 = csn_3;
614         // Serial.println(csn_2);
615     }
616     else if (!normal4) {
617         csn3 = 1/((1/csn_3)+(1/csn_a3));
618         csn1 = csn_1;
619         csn2 = csn_2;
620         csn0 = csn_3;
621         // Serial.println(csn_3);
622     }
623     else {
624         csn0 = csn_0;
625         csn1 = csn_1;
626         csn2 = csn_2;
627         csn3 = csn_3;
628     }
629     //if drain flags enabled calculate resistances with given csn resistor values,
    else calculates currents drawn by arduino and pulldown resistors.
630     if (drain1) {
631         i1 = 1000*b0_convert/(csn0);
632     }
633     else {
634         i1 = 1000*b0_convert/(34e3);
635     }
636     if (drain2) {
637         i2 = 1000*b1_convert/(csn1);
638     }
639     else {
640         i2 = 1000*b1_convert/(34e3);
641     }
642     if (drain3) {
643         i3 = 1000*b2_convert/(csn2);
644     }
645     else {
646         i3 = 1000*b2_convert/(34e3);
647     }
648     if (drain4) {
649         i4 = 1000*b3_convert/(csn3);

```



```

650     }
651     else {
652         i4 = 1000*b3_convert/(34e3);
653     }
654     i_output += i1;
655     i_output += ",";
656     i_output += i2;
657     i_output += ",";
658     i_output += i3;
659     i_output += ",";
660     i_output += i4;
661
662     //UPDATE LCD HERE ALSO
663     lcd.clear();
664     lcd.setCursor(0,1);
665     lcd.print(round(i1));
666     lcd.setCursor(0,0);
667     lcd.print(b0_convert, 1);
668
669     lcd.setCursor(4,1);
670     lcd.print(round(i2));
671     lcd.setCursor(4,0);
672     lcd.print(b1_convert, 1);
673
674     lcd.setCursor(8,1);
675     lcd.print(round(i3));
676     lcd.setCursor(8,0);
677     lcd.print(b2_convert, 1);
678
679     lcd.setCursor(12,1);
680     lcd.print(round(i4));
681     lcd.setCursor(12,0);
682     lcd.print(b3_convert, 1);
683
684     Serial.print("Currents: ");
685     Serial.print(i_output);
686     Serial.println("[mA]");
687
688     return i_output;
689 }
690
691 void writeFile(boolean current_normal1, boolean current_normal2, boolean
current_normal3, boolean current_normal4) {
692     //writes values to file on SD card
693     unsigned long elapsed = millis();
694     dataString += elapsed;
695     dataString += ",";
696     dataString += voltage();
697     dataString += ",";
698     dataString += current(current_normal1, current_normal2, current_normal3,
current_normal4);
699     Serial.println(dataString);
700
701     File dataFile = SD.open("DATAFILE.txt", FILE_WRITE);
702     dataFile.println(dataString);
703     delay(100);
704     dataFile.close();
705     dataString = "";
706 }
707
708 void loop() {
709     discharge(run1, run2, run3, run4);
710     delay(1000);
711     impedance(false, false, false, false, false);
712     lcd.clear();
713     writeFile(true, true, true, true);
714     int iter = 0;
715     while(run1 || run2 || run3 || run4) {
716         impedance(false, false, false, false, false);
717         delay((csn_0*4*1000)); //wait 4*csn0 seconds between samples
718         iter++;
719         if (iter % 90 == 0 || iter == 1) {
720             lcd.clear();

```

```
721         lcd.setCursor(0,0);
722         lcd.print("Impedance meas");
723         lcd.setCursor(0,1);
724         lcd.print(iter);
725         lcd.setCursor(2,1);
726         lcd.print("measurement(s)");
727         delay(1500);
728         impedance(true, run1, run2, run3, run4);
729     }
730     discharge(run1, run2, run3, run4);
731     writeFile(true, true, true, true);
732 }
733
734 writeFile(true, true, true, true);
735 discharge(false, false, false, false);
736 while(1){
737     lcd.clear();
738     discharge(false, false, false, false);
739     Serial.println("done");
740     impedance(false, false, false, false, false);
741     lcd.setCursor(0,0);
742     lcd.clear();
743     lcd.print("Done");
744     delay(10000);
745 }
746 }
747
```